

МЕХАНИКА ЖИДКОСТИ, ГАЗА И ПЛАЗМЫ

УДК 532.5

Е.А. Рувинская¹, О.Е. Куркина^{1,2}, А.А. Куркин¹

УТОЧНЕННОЕ НЕЛИНЕЙНОЕ ЭВОЛЮЦИОННОЕ УРАВНЕНИЕ ДЛЯ ВНУТРЕННИХ ГРАВИТАЦИОННЫХ ВОЛН В ТРЕХСЛОЙНОЙ СИММЕТРИЧНОЙ ЖИДКОСТИ

Нижегородский государственный технический университет им. Р.Е. Алексеева¹,
Государственный университет – Высшая школа экономики (Нижегородский филиал)²

Рассматривается вопрос об уточнении модифицированного уравнения Кортевега-де Вриза с учетом членов высшего порядка малости для случая, когда коэффициент кубической нелинейности может менять знак, на примере внутренних гравитационных волн в трехслойной симметричной модели жидкости (верхний и нижний слои имеют равную толщину, скачки плотности на границах раздела слоев одинаковы).

Ключевые слова: нелинейные эволюционные уравнения, внутренние гравитационные волны.

Динамика внутренних гравитационных волн в океане вызывает особый интерес со стороны исследователей, поскольку и по сей день остается одной из наиболее интересных и в то же время малоисследованных областей механики жидкости и газа. Внутренние волны пронизывают всю толщу вод и играют важнейшую роль во всех динамических процессах Мирового Океана. Так, в шельфовых зонах океана они влияют на изменение рельефа дна путем транспорта наносов или размывов и, в связи с этим могут создавать угрозу для морских сооружений. Амплитуды внутренних волн в океане достигают порой сотен метров, что может быть опасно также для подводных лодок. Перемешивание вод разных температур после прохождения внутренних волн больших амплитуд может оказывать губительное влияние на морскую флору и фауну. Важным аспектом является и то, что внутренние волны могут участвовать в распространении загрязнений на большие расстояния (подобно течениям). Понимание механизмов такого воздействия невозможно без подробных исследований свойств внутренних волн, уточнения их характеристик, особенностей динамики при различных сочетаниях условий в среде.

Таким образом, очевидна важность исследования внутренних волн с точки зрения вопросов обеспечения экологической безопасности: при осуществлении оценочной деятельности в ходе разработки различных гидротехнических и береговых сооружений, переноса осадков и формирования донного и берегового рельефа прибрежной зоны океана, а также распространения загрязнений и примесей в океане.

С тех пор, как на рубеже XIX–XX вв. внутренние волны в океане были открыты экспедицией Нансена на «Фраме» и работой Экмана, объяснившего наблюдения мореплавателей, появилось множество подходов к изучению этого природного явления. В настоящее время продолжают развиваться как численные модели [1–4], так и слабонелинейная теория, позволяющая моделировать динамику внутренних гравитационных волн с помощью эволюционных уравнений, получаемых путем асимптотических разложений полной системы урав-

нений гидродинамики по малым параметрам нелинейности и дисперсии. Последний подход интересен тем, что показывает неплохую согласованность результатов моделирования с результатами натуральных и численных экспериментов, при этом не требует столь объемных вычислений, как в случае численного моделирования, и делает прозрачными связи между параметрами волн. Для применения слабонелинейной теории рассматриваются n -слойные «упрощенные» модели, среди которых наиболее хорошо изученной является двухслойная жидкость, для распространения внутренних волн в которой используется уравнение Гарднера [5–8]. Существуют также работы, посвященные исследованию внутренних волн в трехслойной среде (модифицированное уравнение Кортевега - де Вриза (мКдВ)) [9, 10], настоящая работа также развивает это направление. Рассматривается симметричная трехслойная жидкость. Для такой среды в силу симметрии коэффициент квадратичной нелинейности в слабонелинейных эволюционных уравнениях обращается в нуль, а коэффициент следующего по порядку члена кубической нелинейности может менять знак. Учет возможности смены знака коэффициента кубической нелинейности приводит к необходимости рассматривать расширение мКдВ, включающее нелинейные члены следующих порядков, для более точного описания волновых процессов.

Рассмотрим распространение внутренней волны на границах раздела слоев в трехслойной симметричной жидкости, ограниченной ровным плоским дном и абсолютно гладкой, неподвижной поверхностью.

Будем также считать, что относительный скачок плотности $\Delta\rho$ мал (приближение Буссинеска):

$$\rho_3 = \rho - \Delta\rho, \quad \rho_2 = \rho, \quad \rho_1 = \rho + \Delta\rho,$$

где ρ_1, ρ_2, ρ_3 – плотности нижнего, среднего и верхнего слоев соответственно, поэтому в дальнейшем всеми членами $O(\Delta\rho)$ можно пренебречь. Толщину нижнего и верхнего слоев обозначим h , полную глубину жидкости – H , нижнюю границу раздела – $\eta(x,t)$, верхнюю – $\zeta(x,t)$ (рис. 1).

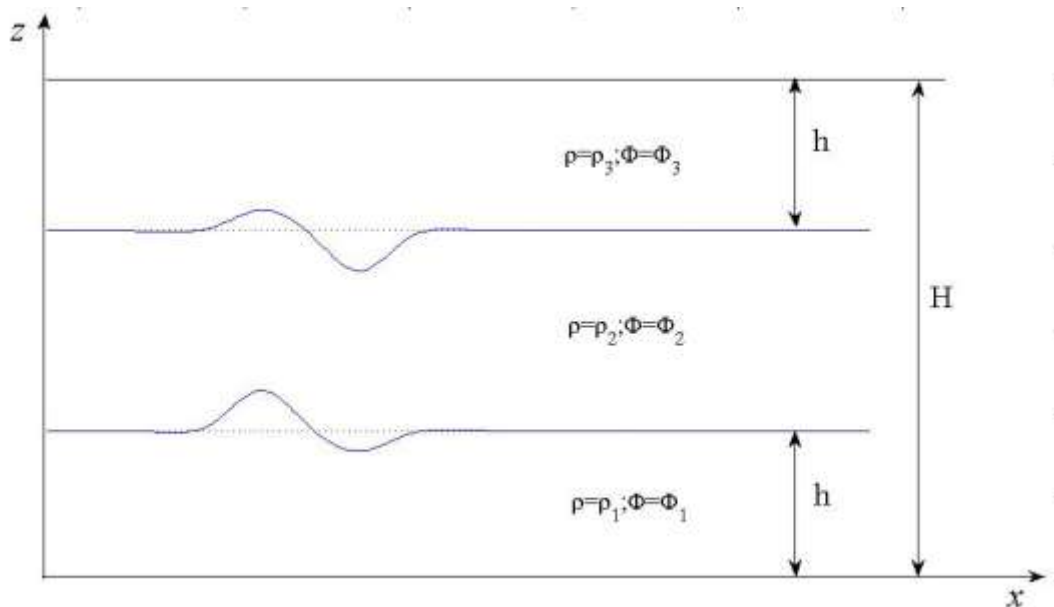


Рис. 1. Схема задачи

Стратифицированная жидкость по определению не является потенциальной [11]. Но мы схематизируем задачу, пренебрегая плавными изменениями плотности вне пикноклинов; для этого предположим, что толщина последних стремится к нулю. В этом случае мы имеем дело с тремя слоями разной плотности. Но тогда на границе раздела двух сред (верхнего и среднего слоя, среднего и нижнего слоя) так же, как и на границе вода-воздух, могут распро-

страняться гравитационные волны, обусловленные действием силы тяжести. Вне скачка жидкость однородна, и здесь можно ввести потенциал скорости. Тогда для каждого слоя справедливо уравнение Лапласа:

$$\nabla^2 \Phi_1 = 0, \quad 0 \leq z \leq h, \quad \Phi_{1z}(z=0) = 0, \quad (1)$$

$$\nabla^2 \Phi_2 = 0, \quad h \leq z \leq H-h, \quad (2)$$

$$\nabla^2 \Phi_3 = 0, \quad H-h \leq z \leq H, \quad \Phi_{3z}(z=H) = 0. \quad (3)$$

Граничное условие на поверхности ставится как условие твердой крышки, на дне – условие непротекания.

На границах раздела слоев запишем кинематические и динамические граничные условия, выполняющие роль условий «сшивки» для рассматриваемых функций.

На $z = \eta(x, t)$ кинематическое граничное условие для нижнего и среднего слоя, а также динамическое граничное условие в силу уравнения Коши-Лагранжа примут вид

$$\left. \begin{aligned} \eta_t + \Phi_{1x}\eta_x - \Phi_{1z} &= 0, \\ \eta_t + \Phi_{2x}\eta_x - \Phi_{2z} &= 0, \\ \rho_1 \left(\Phi_{1t} + \frac{1}{2}(\nabla\Phi_1)^2 + g\eta \right) &= \rho_2 \left(\Phi_{2t} + \frac{1}{2}(\nabla\Phi_2)^2 + g\eta \right). \end{aligned} \right\} z = \eta(x, t) \quad (4)$$

Точно также можно записать кинематические и динамическое граничные условия для верхней границы раздела $z = \zeta(x, t)$:

$$\left. \begin{aligned} \zeta_t + \Phi_{2x}\zeta_x - \Phi_{2z} &= 0, \\ \zeta_t + \Phi_{3x}\zeta_x - \Phi_{3z} &= 0, \\ \rho_2 \left(\Phi_{2t} + \frac{1}{2}(\nabla\Phi_2)^2 + g\zeta \right) &= \rho_3 \left(\Phi_{3t} + \frac{1}{2}(\nabla\Phi_3)^2 + g\zeta \right). \end{aligned} \right\} z = \zeta(x, t) \quad (5)$$

Для перехода к асимптотической процедуре необходимо определить малые параметры системы, исходя из геометрии задачи и масштаба исследуемых явлений. В настоящей работе рассматриваются длинные волны, т.е. горизонтальный масштаб бассейна значительно превосходит вертикальный, в то же время амплитуды распространяющихся возмущений предполагаются малыми по сравнению с глубиной водоема. Тогда малые параметры нелинейности и дисперсии, исходя из условия задачи, вводятся следующим образом: $\bar{\mu} = H/L$, $\varepsilon = A/H$, $\mu = \bar{\mu}^2$.

В предположении стандартного масштабирования малых параметров ($\varepsilon \sim \mu$) исходная система уравнений (1) – (5) преобразуется к виду

$$\Phi_{1z} + \varepsilon\Phi_{1x} = 0, \quad 0 \leq z \leq h, \quad \Phi_{1z}(z=0) = 0, \quad (6)$$

$$\Phi_{2z} + \varepsilon\Phi_{2x} = 0, \quad h \leq z \leq H-h, \quad (7)$$

$$\Phi_{3z} + \varepsilon\Phi_{3x} = 0, \quad H-h \leq z \leq H, \quad \Phi_{3z}(z=H) = 0. \quad (8)$$

$$\left. \begin{aligned} \eta_t + \varepsilon\Phi_{1x}\eta_x - \Phi_{1z} &= 0, \\ \eta_t + \varepsilon\Phi_{2x}\eta_x - \Phi_{2z} &= 0, \\ \rho_1 \left(\Phi_{1t} + \frac{1}{2}\varepsilon(\Phi_{1x})^2 + \frac{1}{2}(\Phi_{1z})^2 + g\eta \right) &= \rho_2 \left(\Phi_{2t} + \frac{1}{2}\varepsilon(\Phi_{2x})^2 + \frac{1}{2}(\Phi_{2z})^2 + g\eta \right). \end{aligned} \right\} z = \eta(x, t) \quad (9)$$

$$\left. \begin{aligned} \zeta_t + \varepsilon \Phi_{2x} \zeta_x - \Phi_{2z} &= 0, \\ \zeta_t + \varepsilon \Phi_{3x} \zeta_x - \Phi_{3z} &= 0, \\ \rho_2 \left(\Phi_{2t} + \frac{1}{2} \varepsilon (\Phi_{2x})^2 + \frac{1}{2} (\Phi_{2z})^2 + g\zeta \right) &= \rho_3 \left(\Phi_{3t} + \frac{1}{2} \varepsilon (\Phi_{3x})^2 + \frac{1}{2} (\Phi_{3z})^2 + g\zeta \right). \end{aligned} \right\} z = \zeta(x, t) \quad (10)$$

Граничные условия заданы на интерфейсах $z = \eta(x, t)$ и $z = \zeta(x, t)$, которые являются неизвестными функциями и подлежат определению. В предположении малости амплитуд распространяющихся возмущений граничные условия могут быть сведены к более простому виду путем разложения всех неизвестных функций, в них входящих, в ряды Тейлора по малым отклонениям от невозмущенного уровня:

$$f(x, z = \eta | \xi, t) = \sum_{j=0}^{\infty} \frac{\varepsilon^j \eta^j | \xi^j}{j!} \frac{\partial^j f}{\partial z^j} \Big|_{z=h, H-h}.$$

Следующий этап асимптотической процедуры – разложение неизвестных функций в ряды по малому параметру:

$$\eta = \varepsilon (\eta_1 + \varepsilon \eta_2 + \varepsilon^2 \eta_3 + \dots), \quad (11)$$

$$\zeta = \varepsilon (\zeta_1 + \varepsilon \zeta_2 + \varepsilon^2 \zeta_3 + \dots). \quad (12)$$

Нетрудно показать, что порядок малости потенциалов составляет $\sqrt{\varepsilon}$, поэтому

$$\Phi_i = \sqrt{\varepsilon} (\phi_{1(i)} + \varepsilon \phi_{2(i)} + \varepsilon^2 \phi_{3(i)} + \dots), \quad i = 1, 2, 3, \quad (13)$$

Завершающий этап – переход к медленному времени и медленной координате. Обозначим за c фазовую скорость длинных линейных волн (которую еще предстоит определить) и введем медленные переменные (согласно методу многих масштабов [12]):

$$\xi = \varepsilon^{1/2} (x - ct), \quad \tau = \varepsilon^{3/2} t. \quad (14)$$

Тогда производные будут иметь вид

$$\frac{\partial}{\partial x} = \varepsilon^{1/2} \frac{\partial}{\partial \xi}, \quad \frac{\partial}{\partial t} = -\varepsilon^{1/2} c \frac{\partial}{\partial \xi} + \varepsilon^{3/2} \frac{\partial}{\partial \tau}. \quad (15)$$

Подставим ряды (11) – (13) в исходную систему уравнений (6) – (10) и, используя переменные (14), (15), перейдем к итерационной процедуре вывода.

На каждом i -м шаге выписываем уравнения (из (6)–(8)) относительно i -й поправки $(\phi_{1(i)}, \phi_{2(i)}, \phi_{3(i)})$ для потенциалов Φ_1, Φ_2, Φ_3 при текущей i -й степени ε в разложении. Выражаем $\phi_{1(i)}, \phi_{2(i)}, \phi_{3(i)}$ (интегрируем). В силу того, что уравнения содержат вторые производные от $\phi_{1(i)}, \phi_{2(i)}, \phi_{3(i)}$ (в (6)–(8) входят лапласианы от искомым функций Φ_1, Φ_2, Φ_3), возникает две константы интегрирования (зависящие от медленного времени и координаты, так как интегрирование ведется по z). «Старшая» константа (при первой степени z) определяется следующим образом:

- для $\phi_{1(i)}$ – из условия «непротекания» на этом шаге;
- для $\phi_{3(i)}$ – из условия «твердой крышки» на этом шаге;
- для $\phi_{2(i)}$ – из системы кинематических граничных условий для Φ_2 на этом шаге.

«Младшая» константа интегрирования (при z^0) определяется на следующем шаге:

- для $\phi_{1(i)}$ – из кинематического граничного условия для Φ_1 ;
- для $\phi_{3(i)}$ – из кинематического граничного условия для Φ_3 ;
- для $\phi_{2(i)}$ – из системы кинематических граничных условий для Φ_2 .

Из системы динамических граничных условий, в которые в силу конструкции уравнений входят поправки потенциалов с предыдущего шага, находим:

- связь между i -ми поправками к $\eta(x, t)$ и $\zeta(x, t)$, т. е. $\eta_i = f(\zeta_i)$ или наоборот;
- коэффициенты нелинейности, линейной и нелинейной дисперсии эволюционного уравнения для поправки $i-1$ порядка к $\eta(x, t)$ (либо к $\zeta(x, t)$).

Таким образом, решая рекурсивно систему уравнений (6) – (10) с учетом (11) – (15) по описанному алгоритму, в нулевом порядке по ε определим квадрат фазовой скорости линейных волн c^2 . Очевидно, что в рамках линейной задачи в рассматриваемой трехслойной среде существуют две волновые моды: симметричная (когда обе границы раздела отклоняются параллельно, в одну сторону $\eta(x, t) = \zeta(x, t)$) и антисимметричная (когда границы раздела отклоняются на одинаковую величину, но в разных направлениях $\eta(x, t) = -\zeta(x, t)$). В настоящей работе мы рассматриваем лишь первую из этих мод, поэтому выбираем только один из возможных вариантов для фазовой скорости линейных волн:

$$c^2 = \frac{gh\Delta\rho}{\rho}. \tag{16}$$

В следующих порядках получим уравнения

$$\varepsilon : \begin{pmatrix} \zeta_1 \\ \eta_1 \end{pmatrix}_\tau + \alpha \begin{pmatrix} \zeta_1 \zeta_{1\xi} \\ \eta_1 \eta_{1\xi} \end{pmatrix} + \beta \begin{pmatrix} \zeta_1 \\ \eta_1 \end{pmatrix}_{\xi\xi\xi} = 0, \tag{17}$$

$$\varepsilon^2 : \begin{pmatrix} \zeta_2 \\ \eta_2 \end{pmatrix}_\tau + \alpha \begin{pmatrix} \zeta_1 \zeta_2 \\ \eta_1 \eta_2 \end{pmatrix}_\xi + \beta \begin{pmatrix} \zeta_2 \\ \eta_2 \end{pmatrix}_{\xi\xi\xi} + \alpha_1 \begin{pmatrix} \zeta_1^2 \zeta_{1\xi} \\ \eta_1^2 \eta_{1\xi} \end{pmatrix} + \beta_1 \begin{pmatrix} \zeta_1 \\ \eta_1 \end{pmatrix}_{5\xi} + \gamma_1 \begin{pmatrix} \zeta_1 \zeta_{1\xi\xi\xi} \\ \eta_1 \eta_{1\xi\xi\xi} \end{pmatrix} + \gamma_2 \begin{pmatrix} \zeta_{1\xi} \zeta_{1\xi\xi} \\ -\eta_{1\xi} \eta_{1\xi\xi} \end{pmatrix} = 0, \dots$$

Однако в конечном итоге необходимо получить уравнение относительно неизвестных функций $\eta(x,t)$ для нижней и $\zeta(x, t)$ для верхней границ раздела. Обратившись к рядам (11) и (12), можно записать следующие выражения (на примере $\eta(x,t)$) для слагаемых, входящих в уравнения (17), через искомую функцию:

$$\begin{aligned} \frac{\partial \eta}{\partial t} &= \varepsilon \left(\frac{\partial \eta_1}{\partial t} + \varepsilon \frac{\partial \eta_2}{\partial t} + \varepsilon^2 \frac{\partial \eta_3}{\partial t} + \dots \right), \\ \frac{\partial \eta}{\partial x} &= \varepsilon \left(\frac{\partial \eta_1}{\partial x} + \varepsilon \frac{\partial \eta_2}{\partial x} + \varepsilon^2 \frac{\partial \eta_3}{\partial x} + \dots \right), \\ \frac{\partial^n \eta}{\partial x^n} &= \varepsilon \left(\frac{\partial^n \eta_1}{\partial x^n} + \varepsilon \frac{\partial^n \eta_2}{\partial x^n} + \varepsilon^2 \frac{\partial^n \eta_3}{\partial x^n} + \dots \right), \\ \eta \frac{\partial \eta}{\partial x} &= \varepsilon^2 (\eta_1 + \varepsilon \eta_2 + \varepsilon^2 \eta_3 + \varepsilon^3 \eta_4 + \dots) \left(\frac{\partial \eta_1}{\partial x} + \varepsilon \frac{\partial \eta_2}{\partial x} + \varepsilon^2 \frac{\partial \eta_3}{\partial x} + \varepsilon^3 \frac{\partial \eta_4}{\partial x} + \dots \right) = \\ &= \varepsilon^2 \left[\eta_1 \frac{\partial \eta_1}{\partial x} + \varepsilon \left(\eta_2 \frac{\partial \eta_1}{\partial x} + \eta_1 \frac{\partial \eta_2}{\partial x} \right) + \varepsilon^2 \left(\eta_3 \frac{\partial \eta_1}{\partial x} + \eta_2 \frac{\partial \eta_2}{\partial x} + \eta_1 \frac{\partial \eta_3}{\partial x} \right) + \dots \right], \\ \eta^2 \frac{\partial \eta}{\partial x} &= \varepsilon^3 (\eta_1 + \varepsilon \eta_2 + \varepsilon^2 \eta_3 + \varepsilon^3 \eta_4 + \dots)^2 \left(\frac{\partial \eta_1}{\partial x} + \varepsilon \frac{\partial \eta_2}{\partial x} + \varepsilon^2 \frac{\partial \eta_3}{\partial x} + \varepsilon^3 \frac{\partial \eta_4}{\partial x} + \dots \right) = \\ &= \varepsilon^3 \left[\eta_1^2 + 2\varepsilon \eta_1 \eta_2 + \varepsilon^2 (\eta_2^2 + 2\eta_1 \eta_3) + 2\varepsilon^3 (\eta_1 \eta_4 + \eta_2 \eta_3) + \dots \right] \left(\frac{\partial \eta_1}{\partial x} + \varepsilon \frac{\partial \eta_2}{\partial x} + \varepsilon^2 \frac{\partial \eta_3}{\partial x} + \varepsilon^3 \frac{\partial \eta_4}{\partial x} + \dots \right) = \\ &= \varepsilon^3 \left[\eta_1^2 \frac{\partial \eta_1}{\partial x} + \varepsilon \left(\eta_1^2 \frac{\partial \eta_2}{\partial x} + 2\eta_1 \eta_2 \frac{\partial \eta_1}{\partial x} \right) + \varepsilon^2 \left((\eta_2^2 + 2\eta_1 \eta_3) \frac{\partial \eta_1}{\partial x} + \eta_1^2 \frac{\partial \eta_3}{\partial x} + 2\eta_1 \eta_2 \frac{\partial \eta_2}{\partial x} \right) + \dots \right], \end{aligned} \tag{18}$$

и т.д.

Выписывая аналогичные ряды для всех слагаемых всех порядков, входящих в уравнения (17), с такой точностью по ε , чтобы обеспечить корректность уравнения, и складывая все уравнения (17) до нужного порядка включительно, в полученном суммарном уравнении выделим эти комбинации, приводя все слагаемые к виду рядов для η и ζ , которые даны ранее.

Таким образом, получим обобщенное уравнение Кортевега-де Вриза для верхнего и нижнего интерфейсов (в исходных переменных):

$$\begin{aligned}
 & \left(\zeta \right)_t + c \left(\zeta \right)_x + \alpha \left(\zeta \zeta_x \right) + \beta \left(\zeta \right)_{xxx} + \alpha_1 \left(\zeta^2 \zeta_x \right) + \beta_1 \left(\zeta \right)_{5x} + \gamma_1 \left(\zeta \zeta_{xxx} \right) + \gamma_2 \left(\zeta_x \zeta_{xx} \right) + \\
 & + \alpha_2 \left(\zeta^3 \zeta_x \right) + \beta_2 \left(\zeta \right)_{7x} + \gamma_{21} \left(\zeta_{xx} \zeta_{xxx} \right) + \gamma_{22} \left(\zeta_x \zeta_{xxxx} \right) + \gamma_{23} \left(\zeta \zeta_{5x} \right) + \gamma_{31} \left(\zeta_x \right)^3 + \\
 & + \gamma_{32} \left(\zeta \zeta_x \zeta_{xx} \right) + \gamma_{33} \left(\zeta^2 \zeta_{xxx} \right) + \alpha_3 \left(\zeta^4 \zeta_x \right) + \beta_3 \left(\zeta \right)_{9x} + \gamma_{41} \left(\zeta_x \zeta_{6x} \right) + \gamma_{42} \left(\zeta_{xx} \zeta_{5x} \right) + \\
 & + \gamma_{43} \left(\zeta_{xxx} \zeta_{xxx} \right) + \gamma_{51} \left(\zeta \zeta_{xx} \zeta_{xxx} \right) + \gamma_{52} \left(\int \zeta_x \zeta_{xx} \zeta_{xxx} dx \right) + \gamma_{53} \left(\zeta \zeta_x \zeta_{xxx} \right) + \gamma_{54} \left(\zeta^2 \zeta_{5x} \right) + \\
 & + \gamma_{55} \left(\zeta_x^2 \zeta_{xxx} \right) + \gamma_{56} \left(\zeta_x \zeta_{xx}^2 \right) + \gamma_{61} \left(\zeta \zeta_x^3 \right) + \gamma_{62} \left(\zeta^2 \zeta_x \zeta_{xx} \right) + \gamma_{63} \left(\zeta^3 \zeta_{xxx} \right) = 0. \quad (19)
 \end{aligned}$$

Коэффициенты уравнения (19) могут быть выписаны в безразмерном виде как функции параметра $l = h/H$:

$$\begin{aligned}
 \alpha &= 0, \quad \frac{\beta}{cH^2} = -\frac{(4l-3)l}{12}, \quad \frac{\alpha_1}{c} H^2 = -\frac{3(26l-9)}{8l^3}, \quad \frac{\beta_1}{cH^4} = \frac{(16l^3 - 45l + 30)l}{1440}, \\
 \gamma_1 &= 0, \quad \frac{\gamma_2}{cH} = \frac{3(8l^2 - 10l + 3)}{8l}, \quad \frac{\alpha_2}{c} H^3 = \frac{9(52l^2 - 44l + 9)}{16l^5}, \\
 \frac{\beta_2}{cH^6} &= -\frac{c(320l^5 - 1008l^4 + 1260l^3 - 945l^2 + 630l - 252)l}{120960}, \\
 \frac{\gamma_{21}}{cH^3} &= -\frac{(256l^4 - 200l^3 - 198l^2 + 231l - 57)}{96l}, \\
 \frac{\gamma_{22}}{cH^3} &= -\frac{(352l^4 - 704l^3 + 486l^2 - 123H^3l + 6)}{192l}, \quad \gamma_{23} = 0, \\
 \frac{\gamma_{31}}{c} &= \frac{(40l^3 + 726l^2 - 819l + 207)}{96l^3}, \quad \frac{\gamma_{32}}{c} = \frac{(1912l^3 - 678l^2 - 927l + 342)}{96l^3}, \\
 \frac{\gamma_{33}}{c} &= \frac{(952l^3 - 1110l^2 + 369l - 36)}{96l^3}, \quad \frac{\alpha_3}{c} H^4 = -\frac{9(1324l^3 - 1508l^2 + 513l - 45)}{128l^7}, \\
 \frac{\beta_3}{cH^8} &= -\frac{(17152l^7 - 76800l^6 + 151200l^5 - 171360l^4 + 121275l^3 + 56700l^2 + 21420l - 6120)l}{29030400}, \\
 \frac{\gamma_{41}}{cH^5} &= \frac{(11264l^6 - 33376l^5 + 37824l^4 - 19350l^3 + 4335l^2 - 684l + 180)}{34560l}, \quad (20) \\
 \frac{\gamma_{42}}{cH^5} &= \frac{(5504l^6 + 4192l^5 - 40152l^4 + 55030l^3 - 31005l^2 + 7218l - 444)}{11520l},
 \end{aligned}$$

$$\begin{aligned} \frac{\gamma_{43}}{cH^5} &= -\frac{(4864l^6 - 14240l^5 + 7968l^4 + 13578l^3 - 21219l^2 + 10809l - 1926)}{6912l}, \\ \frac{\gamma_{51}}{cH^2} &= -\frac{(16544l^5 - 18784l^4 + 16842l^3 - 25377l^2 + 18504l - 3996)}{2304l^3}, \\ \frac{\gamma_{52}}{cH^2} &= -\frac{3(32l^3 - 64l^2 + 42l - 9)}{256l}, \\ \frac{\gamma_{53}}{cH^2} &= -\frac{(56864l^5 + 93936l^4 - 330570l^3 + 26485l^2 - 76320l + 6804)}{11520l^3}, \\ \frac{\gamma_{54}}{cH^2} &= -\frac{(48672l^5 - 94256l^4 + 64590l^3 - 18255l^2 + 2430l - 216)}{11520l^3}, \\ \frac{\gamma_{55}}{cH^2} &= \frac{(189280l^5 - 646880l^4 + 743190l^3 - 334395l^2 + 33030l + 6804)}{11520l^3}, \\ \frac{\gamma_{56}}{cH^2} &= \frac{(121120l^5 - 275560l^4 + 152040l^3 + 70800l^2 - 91035l + 20844)}{5760l^3}, \\ \frac{\gamma_{61}}{c} H &= -\frac{(1424l^4 + 332l^3 - 3444l^2 + 2271l - 405)}{64l^5}, \\ \frac{\gamma_{62}}{c} H &= -\frac{(10928l^4 - 11476l^3 - 192l^2 + 2787l - 594)}{128l^5}, \\ \frac{\gamma_{63}}{c} H &= -\frac{(1904l^4 - 3172l^3 + 1848l^2 - 441l + 36)}{64l^5}. \end{aligned}$$

Уравнение (19) соответствует случаю, когда эффекты слабой нелинейности и дисперсии оказываются одного порядка малости, т.е., как уже отмечалось, $\varepsilon \sim \mu$. Обращение в ноль коэффициента квадратичной нелинейности нарушает классическую иерархию малых членов асимптотического разложения. В этом случае стандартное масштабирование уравнения Кортевега-де Вриза $\varepsilon \sim \mu$ требует модификации $\varepsilon^2 \sim \mu$ для учета дисперсионных и нелинейных эффектов в одном порядке, при этом должна возрасти роль следующих по нелинейности членов в асимптотическом разложении волнового поля. Для того, чтобы выполнить модифицированное масштабирование, перепишем уравнение (19) в переменных $\tilde{\eta} = \varepsilon\eta$, $\tilde{\zeta} = \varepsilon\zeta$, $\tilde{x} = \bar{\mu}x$, $\tilde{t} = \bar{\mu}t$ (знаки «тильда» опускаем):

$$\begin{aligned} &\left(\frac{\zeta}{\eta}\right)_t + c\left(\frac{\zeta}{\eta}\right)_x + \varepsilon\alpha\left(\frac{\zeta\zeta_x}{\eta\eta_x}\right) + \mu\beta\left(\frac{\zeta}{\eta}\right)_{xxx} + \\ &+ \varepsilon^2\alpha_1\left(\frac{\zeta^2\zeta_x}{\eta^2\eta_x}\right) + \mu^2\beta_1\left(\frac{\zeta}{\eta}\right)_{5x} + \varepsilon\mu\left(\gamma_1\left(\frac{\zeta\zeta_{xxx}}{\eta\eta_{xxx}}\right) + \gamma_2\left(\frac{\zeta_x\zeta_{xx}}{-\eta_x\eta_{xx}}\right)\right) + \\ &+ \varepsilon^3\alpha_2\left(\frac{\zeta^3\zeta_x}{-\eta^3\eta_x}\right) + \mu^3\beta_2\left(\frac{\zeta}{\eta}\right)_{7x} + \varepsilon\mu^2\left(\gamma_{21}\left(\frac{\zeta_{xx}\zeta_{xxx}}{\eta_{xx}\eta_{xxx}}\right) + \gamma_{22}\left(\frac{\zeta_x\zeta_{xxx}}{\eta_x\eta_{xxx}}\right) + \gamma_{23}\left(\frac{\zeta\zeta_{5x}}{\eta\eta_{5x}}\right)\right) + \\ &+ \varepsilon^2\mu\left(\gamma_{31}\left(\frac{\zeta_x}{\eta_x}\right)^3 + \gamma_{32}\left(\frac{\zeta\zeta_x\zeta_{xx}}{\eta\eta_x\eta_{xx}}\right) + \gamma_{33}\left(\frac{\zeta^2\zeta_{xxx}}{\eta^2\eta_{xxx}}\right)\right) + \varepsilon^4\alpha_3\left(\frac{\zeta^4\zeta_x}{\eta^4\eta_x}\right) + \mu^4\beta_3\left(\frac{\zeta}{\eta}\right)_{9x} + \\ &+ \varepsilon\mu^3\left(\gamma_{41}\left(\frac{\zeta_x\zeta_{6x}}{-\eta_x\eta_{6x}}\right) + \gamma_{42}\left(\frac{\zeta_{xx}\zeta_{5x}}{-\eta_{xx}\eta_{5x}}\right) + \gamma_{43}\left(\frac{\zeta_{xxx}\zeta_{xxxx}}{-\eta_{xxx}\eta_{xxxx}}\right)\right) + \end{aligned} \quad (21)$$

$$\begin{aligned}
 & + \varepsilon^2 \mu^2 \left(\gamma_{51} \left(\frac{\zeta \zeta_{xx} \zeta_{xxx}}{\eta \eta_{xx} \eta_{xxx}} \right) + \gamma_{52} \left(\int \zeta_x \zeta_{xx} \zeta_{xxx} dx \right) + \gamma_{53} \left(\frac{\zeta \zeta_x \zeta_{xxx}}{\eta \eta_x \eta_{xxx}} \right) + \gamma_{54} \left(\frac{\zeta^2 \zeta_{5x}}{\eta^2 \eta_{5x}} \right) + \gamma_{55} \left(\frac{\zeta_x^2 \zeta_{xxx}}{\eta_x^2 \eta_{xxx}} \right) + \right. \\
 & \left. + \gamma_{56} \left(\frac{\zeta_x \zeta_{xx}^2}{\eta_x \eta_{xx}^2} \right) \right) + \varepsilon^3 \mu \left(\gamma_{61} \left(\frac{\zeta \zeta_x^3}{-\eta \eta_x^3} \right) + \gamma_{62} \left(\frac{\zeta^2 \zeta_x \zeta_{xx}}{-\eta^2 \eta_x \eta_{xx}} \right) + \gamma_{63} \left(\frac{\zeta^3 \zeta_{xxx}}{-\eta^3 \eta_{xxx}} \right) \right) = 0.
 \end{aligned}$$

Применяя в (21) соотношение между малыми параметрами $\varepsilon^2 = \mu$, получим гораздо более простое уравнение:

$$\begin{aligned}
 & \left(\frac{\zeta}{\eta} \right)_t + \alpha_1 \left(\frac{\zeta^2 \zeta_x}{\eta^2 \eta_x} \right) + \beta \left(\frac{\zeta}{\eta} \right)_{xxx} + \\
 & + \varepsilon \left(\alpha_2 \left(\frac{\zeta^3 \zeta_x}{-\eta^3 \eta_x} \right) + \gamma_2 \left(\frac{\zeta_x \zeta_{xx}}{-\eta_x \eta_{xx}} \right) \right) + \\
 & + \varepsilon^2 \left(\alpha_3 \left(\frac{\zeta^4 \zeta_x}{\eta^4 \eta_x} \right) + \gamma_{31} \left(\frac{\zeta_x^3}{\eta_x^3} \right) + \gamma_{32} \left(\frac{\zeta \zeta_x \zeta_{xx}}{\eta \eta_x \eta_{xx}} \right) + \gamma_{33} \left(\frac{\zeta^2 \zeta_{xxx}}{\eta^2 \eta_{xxx}} \right) + \beta_1 \left(\frac{\zeta}{\eta} \right)_{5x} \right) + O(\varepsilon^3) = 0,
 \end{aligned} \tag{22}$$

где коэффициенты также определяются формулами (20).

Уравнение (22) выведено здесь для уточнения описания волновой динамики в тех случаях, когда коэффициент квадратичной нелинейности обращается в ноль, а коэффициент кубической нелинейности имеет значения, близкие к нулю, т.е. при соотношении толщин слоев, близком к $h/H = 9/26$. Проанализируем поведение коэффициентов уравнения (22). Графики зависимостей безразмерных величин коэффициентов от толщины верхнего и нижнего слоев в симметричной жидкости показаны на рис. 2. Как видно из рис. 2, коэффициент α_2 слагаемого нелинейности четвертой степени также может менять знак в окрестности указанной точки, и только коэффициент нелинейности пятой степени α_3 всюду отрицателен. Коэффициенты дисперсии β , β_1 и нелинейной дисперсии γ_2 всюду положительны на области определения, а коэффициенты слагаемых нелинейной дисперсии γ_{31} , γ_{32} , γ_{33} имеют по одной точке смены знака, не совпадающей с $h/H = 9/26$.

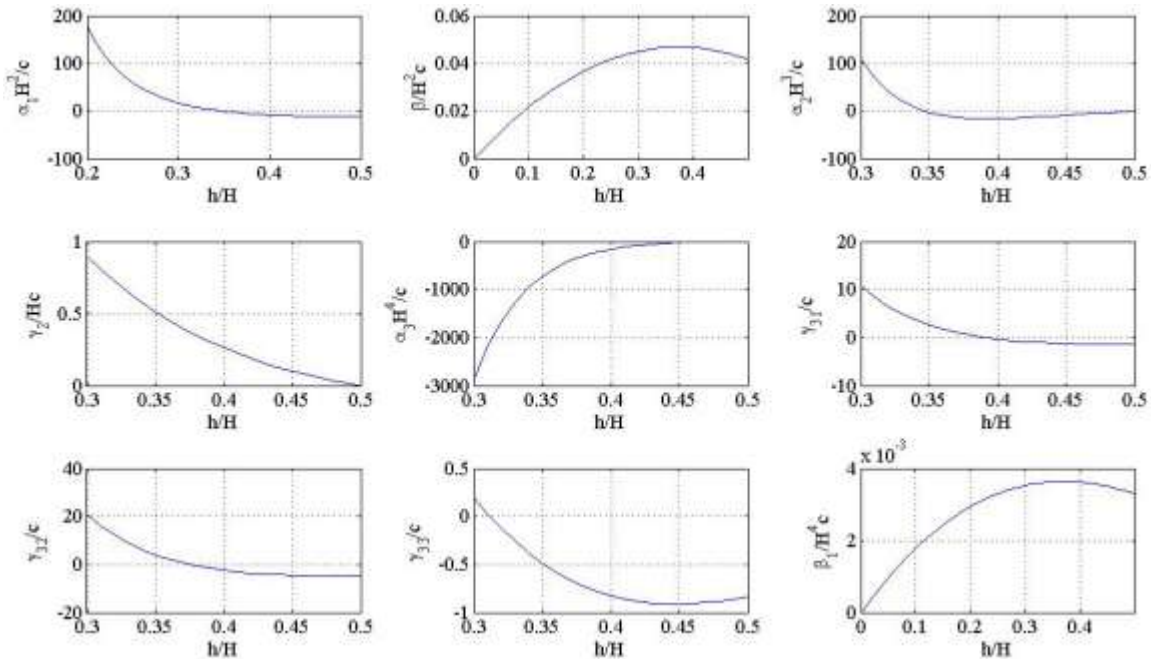


Рис. 2. Поведение коэффициентов расширенного уравнения Кортевега-де Вриза в зависимости от соотношения толщин слоев

Для более детального анализа разложим выражения для коэффициентов уравнения (21) в ряд Тейлора в окрестности точки $h = 9/26 H$ ($\Delta = l - 9/26$):

$$\begin{aligned} \frac{\beta}{cH^2} &= \frac{63}{1352} + \frac{1}{52}\Delta + O(\Delta^2), \\ \frac{\alpha_2 H^3}{c} &= \frac{5940688}{6561}\Delta + O(\Delta^2), \quad \frac{\gamma_2}{cH} = \frac{7}{13} - \frac{115}{18}\Delta + O(\Delta^2), \\ \frac{\alpha_3 H^4}{c} &= -\frac{47411260}{59049} + \frac{1208410197}{531441}\Delta + O(\Delta^2), \\ \frac{\gamma_{31}}{c} &= \frac{1483}{486} - \frac{298285}{2916}\Delta + O(\Delta^2), \quad \frac{\gamma_{32}}{c} = \frac{2341}{486} - \frac{641017}{2916}\Delta + O(\Delta^2), \\ \frac{\gamma_{33}}{c} &= -\frac{109}{243} - \frac{30589}{2916}\Delta + O(\Delta^2), \quad \frac{\beta_1}{cH^4} = \frac{66291}{18279040} + \frac{1099}{1054560}\Delta + O(\Delta^2). \end{aligned}$$

Тогда расширенное модифицированное уравнение Кортевега-де Вриза (22) в окрестности точки $h = 9/26 H$ принимает вид

$$\begin{aligned} \left(\zeta\right)_t + \frac{63H^2c}{1352}\left(\zeta\right)_{xxx} + \varepsilon \frac{7Hc}{13}\left(\zeta_x\zeta_{xx}\right) + \varepsilon^2\left(-\frac{47411260c}{59049H^4}\left(\zeta^4\zeta_x\right) + \frac{1483}{486}c\left(\zeta_x^3\right) + \right. \\ \left. + \frac{2341}{486}c\left(\zeta\zeta_x\zeta_{xx}\right) - \frac{109}{243}c\left(\zeta^2\zeta_{xxx}\right) + \frac{66291H^4c}{18279040}\left(\zeta\right)_{5x}\right) + O(\varepsilon^3) = 0. \end{aligned} \quad (23)$$

Уравнение (23) уточняет характер волновой динамики вблизи точки нулевой кубической нелинейности за счет нелинейных дисперсий следующих порядков и нелинейности пятого порядка.

Выводы

Предлагается нелинейно-дисперсионная теория внутренних гравитационных волн малой, но конечной амплитуды, распространяющихся на границах раздела слоев в трехслойной симметричной жидкости. В основе теории лежит асимптотическая процедура разложения гидродинамических полей в уравнениях идеальной слоистой вертикально-однородной несжимаемой жидкости в ряды по малым параметрам нелинейности и дисперсии. В результате временная эволюция волнового поля и трансформация его вдоль координаты распространения описываются нелинейным эволюционным уравнением второго порядка точности относительно малых параметров. В первом порядке по нелинейности и дисперсии полученное уравнение совпадает с широко известным модифицированным уравнением Кортевега-де Вриза. Полученное уравнение позволяет более точно описывать внутренние волновые поля и должно рассматриваться для симметричных сред, параметры которых обеспечивают близкие к нулю значения коэффициента кубической нелинейности.

Представленные результаты получены в рамках реализации мероприятия «Проведение научных исследований научными группами под руководством докторов наук» ФЦП «Научные и научно-педагогические кадры инновационной России» на 2009–2013 годы, а также при поддержке грантов Президента РФ для молодых российских ученых – кандидатов наук (МК-846.2009.1) и докторов наук (МД-99.2010.5), и РФФИ 10-05-00199а.

Библиографический список

1. **Канарская, Ю. В.** Негидростатическая модель стратифицированных течений со свободной поверхностью: дисс. ... канд. физ.-мат. наук, 01.02.05 / Канарская Ю.В. // Киев, 2004. 126 с.
2. **Ландау, Л.Д.** Гидродинамика / Л.Д. Ландау, Е.М. Лифшиц. – М.: Наука, 1986. – 733 с.
3. **Пелиновский, Е.Н.** Нелинейные эволюционные уравнения / Е.Н. Пелиновский, В.Е. Фридман, Ю.К. Энгельбрехт. – Таллин, Валгус, 1984. – 154 с.
4. **Талипова, Т.Г.** Влияние кубической нелинейности на трансформацию интенсивных внутренних волн / Т.Г. Талипова [и др.] // Доклады Российской Академии наук. 1999. 364. № 6. С. 824–827.
5. **Clarke, S.** On the generation of solitons and breathers in the modified Korteweg – de Vries equation / S. Clarke [at al.] // Chaos. 2000. 10. No. 2. P. 383–392.
6. **Grue, J.** A method for computing unsteady fully nonlinear interfacial waves / Grue J., Friis, A., Palm, E. and Rupas, P.-O. // J. Fluid Mech. 1997. V. 351. P. 223.
7. **Kakutani, T.** Solitary waves on a two-layer fluid / T. Kakutani, N. and Yamasaki // J. Phys. Soc. Japan. 1978. V. 45. P. 674–679.
8. **Koop, C.G.** An investigation of internal solitary waves in two-fluid system / C.G. Koop, and Butler, G. // J. Fluid Mech. 1981. V. 112. P. 225–251.
9. **Lamb, K.** Numerical experiments of internal wave generation by strong tidal flow across a finite amplitude bank edge // J. Geoph. Res. 1994. V. 99. C1. P. 843–864.
10. **Miles, J.W.** On internal solitary waves // Tellus, 1979. V. 31. P. 456–462.
11. **Miles, J.W.** On internal solitary waves // Tellus, 1981. V. 33. P. 397–401.
12. **Vlasenko, V.** Nonlinear internal waves forced by tides near the critical latitude. / V. Vlasenko [at al.] // Deep-Sea Research I. 2003. V. 50. P. 317–338.

*Дата поступления
в редакцию 15.10.2010*

E.A. Rouvinskaya, O.E. Kurkina, A.A. Kurkin

**IMPROVED NONLINEAR EVOLUTIONARY EQUATION
FOR INTERFACIAL GRAVITY WAVES
IN A SYMMETRIC THREE-LAYER FLUID**

In the present study we derive the improved modified Korteweg-de Vries equation of higher-order in small parameters of nonlinearity and dispersion for the specific case when the coefficient of cubic nonlinear term can change its sign. Such a situation is considered for the example of interfacial gravity waves in a symmetric three-layer fluid (when the upper and lower layers have equal widths and small density jumps on the interfaces are equal).

Key words: nonlinear evolutionary equations, interfacial gravity waves.